

Quelques aspects thermodynamiques de la glace.

Q1. $P_f = h_f(T) - h_i(T)$ - C'est la variation d'enthalpie, par unité de masse, pour passer de l'état eau glace à eau liquide à la pression atmosphérique

Q2. Pour le système {eau + glace}, l'évolution est supposée adiabatique et isobare. En supposant $Q_f > Q_i$ d'après l'enonce,

$$\Delta H = 0 = m_1 c_p / (Q_f - Q_i) + m_2 P_f + m_2 c_p / (Q_f - Q_i)$$

d'où
$$P_f = -c_p / (Q_f - Q_i) - \frac{m_1 c_p}{m_2} / (Q_f - Q_i)$$

Q3. return $-c^* (T_f - T_g) - m_1 * c^* (T_f - T_e) / m_2$

Le programme prend en compte les incertitudes-type sur la masse, mais oublie les incertitudes-type sur les températures

Q4. D'après le programme $P_{f,exp} = 253,3 \pm 30 \text{ kJ/kg}$

D'après les données $P_{f,table} = 333,5 \text{ kJ/kg}$

Le z-score est
$$Z = \frac{P_{f,table} - P_{f,exp}}{\sigma(P_{f,exp})}$$

AN $Z = 2.5 > 2$ - la mesure n'est pas satisfaisante.

Q5. La capacité calorifique du calorimètre n'a pas été prise en compte, ce qui constitue probablement une erreur systématique importante. Les pertes n'ont également pas été prises en compte.

II Formation de glace dans un congélateur

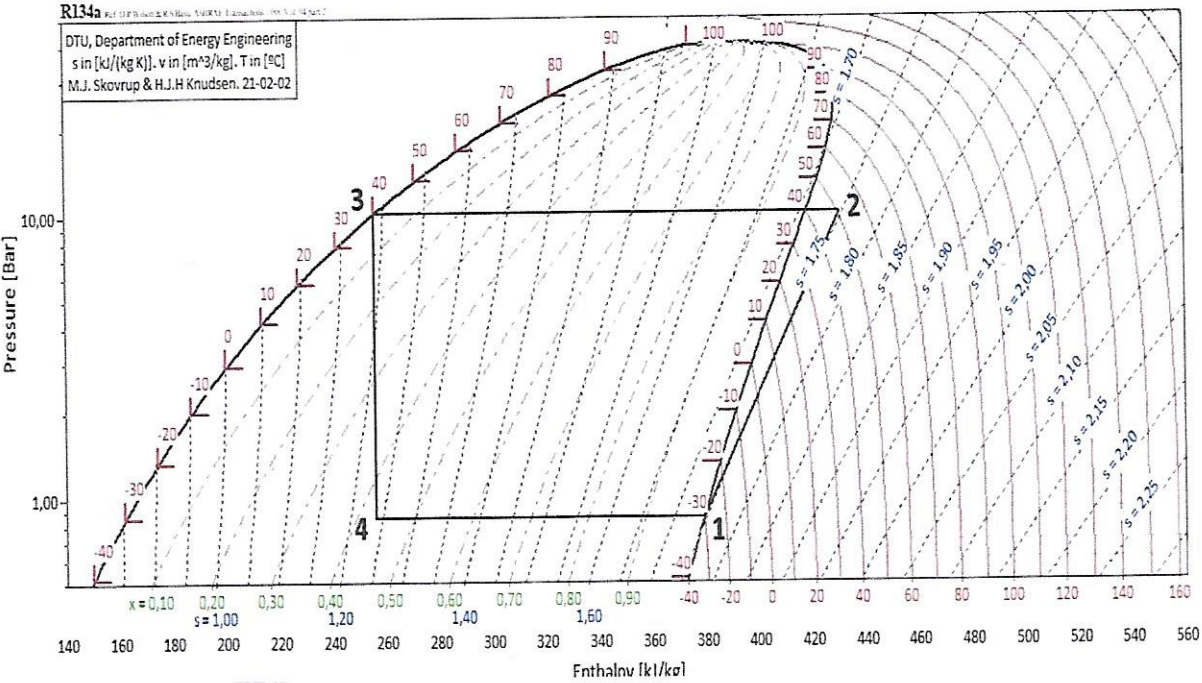
Q6. D'après l'énoncé:

- la transformation $2 \rightarrow 3$ est isobare et le point 3 correspond à du liquide
saturé \rightarrow on place le point 3 - On lit $\theta_3 = 40^\circ\text{C}$
- le point 1 correspond à un état de vapeur saturante à -30°C
On lit $P_1 = 0,9$ bars (par presso)
- la transformation $3 \rightarrow 4$ est adiabatique sans partie mobile (c'est une détente de Jouk-Thomson) et est donc isenthalpique - On sait de plus que la transformation $4 \rightarrow 1$ est isobare donc $P_4 = 0,9$ bar. On place le point 4 à l'intersection de cette isobare et de l'isenthalpique -
- la transformation $1 \rightarrow 2$ est adiabatique réversible, donc isentropique et $P_2 = P_3 = 10$ bar - On place le point 2. On lit $\theta_2 = 50^\circ\text{C}$.

Bilan	1	2	3	4
P (bar)	0,9	10	10	0,9
T ($^\circ\text{C}$)	-30	50	40	-30

Q7. $x_2 = 1$ (vapeur uniquement)

On lit $x_4 = 0,44$ (ou règle des moments.)



Q.8. Pour une transformation adiabatique irréversible, l'entropie croît donc à P_2 fixée, la température 2 serait plus grande d'après le diagramme enthalpique.

Q.9. le fluide étant en écoulement stationnaire le travail machine utile est w_{12} tq $\Delta h_{12} = w_{12} + q_{12}$ avec $q_{12} = 0$ (transformation adiabatique). Donc $w_{12} = \Delta h_{12}$
 On lit $f_1 \approx 380 \text{ kJ/kg}$ et $f_2 \approx 430 \text{ kJ/kg}$ d'où $w_{12} \approx 50 \text{ kJ/kg}$

La transformation 2-3 est isobare donc $q_{23} = \Delta f_{23}$

On lit $f_3 \approx 250 \text{ kJ/kg}$ d'où $q_{23} \approx -180 \text{ kJ/kg}$.

De même $q_{41-1} = \Delta f_{41}$ d'où $q_{41} \approx 130 \text{ kJ/kg}$

Q10. L'efficacité du congélateur est

$$e = \frac{\text{grande utilité}}{\text{grande consommation}} = \frac{q_{41}}{w_{12}}$$

$$\text{AN } e = 3,0$$

On peut comparer à l'efficacité d'un cycle de Carnot $e_{\text{Carnot}} = \frac{1}{\frac{T_C}{T_F} - 1}$

qui serait ici de $e_{\text{Carnot}} = 3,5$ en prenant $\{ Q_C = 40^\circ C \}$
 $\{ Q_F = -30^\circ C \}$
le cycle proposé est à priori irréversible

Q11. Au cours du cycle, $\Delta S = 0 = Y_{\text{cyc}} + Y_{\text{irrév}}$

Ici $Y_{\text{irrév}} = \frac{q_{23}}{T_3} + \frac{q_{41}}{T_1}$ / si l'on suppose $T_{\text{ext}} = T_3$ pour
 transfo 2 → 3

D'où $| Y_{\text{cyc}}(\text{masse}) = - \left(\frac{q_{23}}{T_3} + \frac{q_{41}}{T_1} \right) |$

AN $| Y_{\text{cyc}} = 0,04 \text{ kJ/K}^{-1} |$ On a bien un cycle irréversible

b) Fabrication de glace

On applique le premier principe au système {eau} entre 2 instants t et $t+dt$ en supposant la transformation isobare :

$$\frac{dH}{dt} = \phi$$

Il y a 2 étapes : transformation {eau liquide à $25^\circ C$ } → {eau liquide à $0^\circ C$ } d'une durée T_1 .

Pour cette étape, $\frac{dt}{dt} = m_C p \frac{dT}{dt}$

$$\text{Donc } m_C p \frac{dT}{dt} = -h_S (T - T_c)$$

$$T = T_c + A_c e^{-\frac{h_S t}{m_C p}} \text{ avec } T(0) = T_a \rightarrow A = (T_a - T_c)$$

$$\text{D'où } T_f = T_c + (T_a - T_c) e^{-\frac{h_S t}{m_C p}}$$

$$\boxed{z_1 = -\frac{m_C p}{h_S} \ln \left(\frac{T_f - T_c}{T_a - T_c} \right)} \quad \underline{\text{AN}} \quad \boxed{z_1 = 390 \text{ s}}$$

• transformation } eau liquide à 0°C } → } eau glace 0°C }

Pour cette étape, $\frac{dt}{dt} = \frac{dm}{dt} L_f = -h_S (T_f - T_c)$

$$\text{D'où } -\frac{m}{T_c} L_f = -h_S (T_f - T_c)$$

$$\boxed{z_2 = \frac{m L_f}{h_S (T_f - T_c)}} \quad \underline{\text{AN}} \quad \boxed{z_2 = 1812 \text{ s}}$$

La durée totale de formation (théorique) des glaçons est de 36 min.

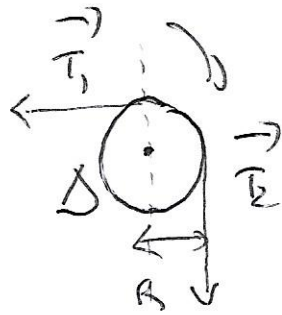
Q13. Le facteur le plus important est probablement le retard à la solidification (effet Nernst) qui peut expliquer que la durée réelle soit plus longue. Le modèle précédent suppose par ailleurs T_c constante ce qui n'est pas si évident.

6

I.1. Lois de Coulomb du frottement solide

Q14 La poulie supposée idéale donc

- sa masse (d'inertie) est supposée nulle donc $\bar{J}_D = 0$
- la liaison d'axe est supposée parfaite \mathcal{Z}_D (liaison) = 0



On applique le théorème du moment cinétique au système {poulie + fil} par rapport à l'axe (D)

$$\frac{dL_D}{dt} = \sum_{\Delta \text{ extérieur}} [m \cdot (\text{accél mécanique})] = \mathcal{Z}_D (\text{poids}) + \mathcal{Z}_D (\text{liaison}) + \mathcal{Z}_D (R_1) - \mathcal{Z}_D (R_2)$$

$$\text{Or } L_D = \bar{J}_D \omega = 0 \text{ car } \bar{J}_D = 0$$

$$\mathcal{Z}_D (\text{liaison}) = 0 \text{ par hypothèse}$$

$$\mathcal{Z}_D (\text{poids}) = 0 \text{ et } \mathcal{Z}_D (R_1) = -RT_1, \quad \mathcal{Z}_D (R_2) = RT_2$$

$$\text{D'où } 0 = -RT_1 + RT_2 \rightarrow \boxed{T_1 = T_2}$$

La poulie idéale transmet donc bien les tensions.

- Q15. 1ère phase: fil tendu, le solide 1 et le solide 2 se déplacent de H₀
- 2ème phase: fil non tendu - le solide 1 se déplace de D-H₀, le solide 2 est immobile.

Q16. Le plus rapide est d'appliquer le théorème de l'énergie cinétique pendant la première phase du système { solide + fil + partie }

On a $\Delta E_C + \Delta E_P = W_{int} + W_{ext \text{ non conservatives}}$

Or $\Delta E_C = \frac{1}{2} M v_i^2 + \frac{1}{2} d \pi r_i^2 - 0 = \frac{1}{2} M (1+\alpha) r_i^2$

$$\Delta E_P = -\alpha \pi g H_b$$

$W_{int} = 0$ car fil inextensible et non glissement fil sur partie.

$W_{ext \text{ non conservative}} = -f_g M g H_b$ d'après bis Coulomb et

Tan { solide 1 } projete verticalement.

D'où $v_i = \left[\frac{2 H_b g (\alpha - f_g)}{\alpha + \alpha} \right]^{1/2}$

Rq L'expérience n'est donc possible que si $\alpha > f_g$ sinon pas m^{vt}.

Q17. On applique le théorème de l'énergie cinétique pour la deuxième phase du système { solide 1 }

$$\Delta E_C = W_{ext \text{ non conservative}}$$

Or $\Delta E_C = -\frac{1}{2} \pi r_i^2$

$$W_{ext \text{ non conservative}} = -f_g \pi g (D - H_b)$$

D'où $f_g = \frac{1}{2} \frac{r_i^2}{g(D - H_b)} = \frac{H_b (\alpha - f_g)}{D - H_b (1 + \alpha)}$

D'où
$$\left| f_g = \frac{\alpha H_0}{H_0 + (1+\alpha)(D-H_0)} \right|$$

Q18 AN
$$\boxed{f_g = g 17^\circ}$$

Q19. A la limite du glissement $T = f_s N$ et ici $N = mg \cos \theta$
 Le théorème de la quantité de mouvement projeté selon la direction du support donne $T = mg \sin \theta$

D'où
$$\boxed{f_s = \tan \theta \lim}$$

Q20 AN
$$\boxed{f_s = g 57^\circ}$$
 - On a bien $f_s > f_g$ comme attendu.

Rq Normallement pour un contact identique solide / surface on n'attend pas un tel écart entre f_g et f_d . Le sujet d'origine n'a peut-être pas utilisé les mêmes matériaux

9

II.3. Glissement sur la glace -

Q.21 La température de la glace étant initialement de $-13,8^\circ\text{C}$,

on détermine $H \approx 80 \text{ MPa}$ (peu précis)

D'après le théorème de la quantité de mouvement appliquée à la patineuse et projete verticalement, $N = mg$ (en négligeant forces de pression dues à l'air) On en déduit

$$\boxed{S' = ma^2 = \frac{mg}{H}} \quad \text{et} \quad S' = 7,5 \cdot 10^{-6} \text{ m}^2$$

On a $S' \ll L^2 = 4,5 \cdot 10^{-4} \text{ m}^2$ surface réelle / 2% surface apparente

Q.22 En négligeant toujours P adans de l'air, on a $N = PS'$

Donc $P = \frac{mg}{S'}$ et $P = 80 \text{ MPa}$

Q.23 D'après la courbe de fusion de la glace, la pression nécessaire à la fusion de la glace à $-13,8^\circ\text{C}$ est de l'ordre

de 140 MPa , donc très supérieure à la pression précédente.

L'augmentation initiale de la pression, à $-13,8^\circ\text{C}$ ne permet pas de justifier la fusion.

Q24 L'augmentation de température par rapport à la température initiale est compatible avec le fait que la température de l'air est plus grande quand la pression augmente. On peut penser que la vitesse modifie le nombre d'apports en donc indirectement la surface réelle, donc la pression, ce qui peut favoriser une augmentation de la température de l'air lorsque la vitesse augmente.

Q25 L'énergie massique nécessaire à la variation de température est

$$\Delta h_1 = c_s (Q_f - Q_i) \text{ avec } Q_f = 0^\circ\text{C} \text{ et } Q_i = -7^\circ\text{C}$$

L'énergie massique nécessaire à la fusion est

$$\Delta h_2 = \frac{f_p}{f_i} (Q_f)$$

Le rapport est donc $\frac{\Delta h_1}{\Delta h_2} = \frac{c_s(Q_f - Q_i)}{f_p} = \frac{410^2}{f_p} \ll 1$

Q26 D'après l'hypothèse, le travail mécanique fourni pendant dt est $\delta W = \vec{F} \cdot \vec{r} dt = \gamma \vec{a}^2 \vec{r}^2 dt$

$$\text{D'où } W_{\text{mech}} = \gamma \frac{\vec{a}^2 \vec{r}^2}{dt} \times t = \frac{\gamma a^3 V^2}{t}$$

Q27 On applique le principe du système {eau} qui fond pendant dt: $dH = \delta W_{\text{mech}}$

$$\text{On a } dH = dm_{\text{eau}} \times p_f = \rho_g \times h \times a \times v dt \quad p_f$$

$$\text{et } \delta W_{\text{meca}} = \frac{\gamma a^2 v^2 dt}{R}$$

$$\text{D'où } p_f \rho_g h a r = \frac{\gamma a^2 v^2}{R} \rightarrow$$

$$h = \left(\frac{\gamma a v}{\rho_g p_f} \right)^{1/2}$$

Q28 La force totale exercée par le solide glissant à la surface

$$\text{de l'eau est } \vec{F}_T = m a^2 \frac{\gamma v \vec{u}_x}{R} = m a^2 \frac{\gamma (\rho_f v)^{1/2} \vec{u}_x}{\frac{\rho_a}{a}}$$

D'après le principe des actions réciproques, la force de frottement

$$\text{est } \vec{F}_f = - m a^2 \left(\frac{\gamma \rho_f v}{a} \right)^{1/2} \vec{u}_x$$

Q29. D'après les lois de Coulomb, dans le cas du glissement,

$$\vec{F}_f = - f N \vec{u}_x \text{ avec ici } N = mg$$

donc par identification,

$$f = \frac{m a^2}{N g} \times \left(\frac{\gamma \rho_f v}{a} \right)^{1/2} = \frac{1}{H} \left(\frac{\gamma \rho_f v}{a} \right)^{1/2}$$

AN

$$v = 10 \text{ m.s}^{-1}$$

$$H(-50^\circ) \approx 50 \text{ MPa}$$

$$a \approx 0,1 \text{ mm}$$

$$\gamma \approx 3 \text{ MPa.s}$$

$$f_f \approx 6 \cdot 10^{-3}$$

c'est petit !

Il glisse bien !

Q30. Dans le cas du dispositif de la figure 2, la vitesse n'est pas constante.

Q31. Dans le cas de toutes les courbes, on a (le diagramme est en \log/\log) une pente de $+ \frac{1}{2}$ qui rend bien compte de la dépendance en $\sqrt{\nu}$.

On s'attend à ce donné à ce que le coefficient de frottement augmente quand la température diminue car $f_g \propto \frac{1}{T(T)}$

La tendance qualitative est bien celle des courbes.

La comparaison quantitative est plus difficile car on n'a pas la même vitesse pour l'acier --

Q33. Le point P est soumis à la force de gravitation

$$\vec{F}_z = -m \frac{\vec{r}_0 G}{r^2} \hat{e}_{ur}$$

On a $\vec{F} = -\vec{g} \text{ad} / -m \frac{\vec{r}_0 G}{r^2}$ en coordonnées sphériques

donc \vec{F} dérive bien de l'énergie potentielle $E_p(r) = -m \frac{\vec{r}_0 G}{r}$

Q34 On applique le théorème du moment cinétique à $\{n\}$ dans le référentiel héliocentrique par rapport au point O .

$$\frac{d\vec{l}_0}{dt} = \vec{r}_0 (\vec{f}) = \vec{0} \text{ car } \vec{f} \text{ est une force centrale}$$

$$\text{donc } \vec{l}_0 = \vec{r}_0 \times m \vec{v}(n) / r_0 = \text{cte}$$

\vec{v} est perpendiculaire à \vec{l}_0 et est contenue dans le plan défini par \vec{ob} et \vec{v} .

Q35 En coordonnées polaires, $\vec{l}_0 = m \cdot r \cdot \vec{u}_r / (r \dot{u}_r + r \dot{r} \vec{u}_\theta) = m r^2 \dot{\theta} \vec{u}_\theta$
le système $\{n\}$ étant conservatif on a

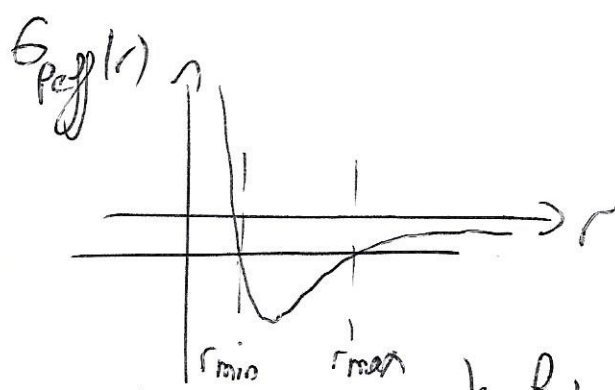
$$E_m = \frac{1}{2} m \dot{r}^2 + \frac{1}{2} m r^2 \dot{\theta}^2 - m \frac{\vec{r}_0 G}{r} = \text{cte}$$

$$\text{Avec } \frac{1}{2} m \dot{r}^2 = \frac{1}{2} \frac{\dot{L}_0^2}{m r^2} \text{ d'où } \frac{1}{2} m \dot{r}^2 + \frac{1}{2} \frac{\dot{L}_0^2}{m r^2} - m \frac{\vec{r}_0 G}{r} = \text{cte}$$

Pour le mouvement radial, tout se passe comme si on va rompre

$$\text{à l'eff avec } E_{\text{eff}}(r) = \frac{1}{2} \frac{\dot{L}_0^2}{m r^2} - m \frac{\vec{r}_0 G}{r}$$

Graphiquement



Si $E_m < 0$, on a donc un mouvement lié avec $r_{\min} < r < r_{\max}$

On a $r_{\min} \neq r_{\max}$ si $E_m > E_{\text{eff min}}$

L'énergie potentielle effective minimale est obtenue lorsque

$$\frac{dE_{\text{eff}}}{dr} = 0 = -\frac{L^2}{mr^3} + m\frac{\nabla_0 G}{r^2}, \text{ soit } r = \frac{L^2}{m^2 \nabla_0 G}$$

$$\begin{aligned} \text{et vaut } E_{\text{eff min}}(r) &= \frac{1}{2} \cdot \frac{L^2}{m} \left(\frac{m^2 \nabla_0 G}{L^2} \right)^2 - m \nabla_0 G \frac{m^2 \nabla_0 G}{L^2} \\ &= -\frac{m^3 (\nabla_0 G)^2}{2L^2} \end{aligned}$$

Q36. r_{\min} et r_{\max} sont obtenus lorsque $r=0$, donc

$$E_m = \frac{1}{2} \frac{L^2}{mr^2} - m \frac{\nabla_0 G}{r}$$

$$\text{Soit } \boxed{r^2 + \frac{m \nabla_0 G r - L^2}{E_m} = 0}$$

$$\text{On a donc } 2a = r_{\min} + r_{\max} = -\frac{m \nabla_0 G}{2E_m} \rightarrow \boxed{E_m = -\frac{m \nabla_0 G}{2a}}$$

Q37 On applique le principe fondamental pour une trajectoire

$$\text{avec donc } -m \omega^2 a_{ur} = -m \frac{\nabla_0 G}{r^2}$$

D'où $\left[\frac{T^2}{a^3} = \frac{4\pi^2}{Gm_0} \right] \text{ avec } T = \frac{2\pi}{\omega}$

Q38. On a $a = \left(\frac{Gm_0 T^2}{4\pi^2} \right)^{1/3}$ AN $a = 3,463 \text{ ua}$

De plus $r_{\text{aphelie}} + r_{\text{perihelie}} = 2a$ donc $r_{\text{aphelie}} = 2a - r_{\text{perihelie}}$

AN $r_{\text{aphelie}} = 5,683 \text{ ua}$

Q39. On a

$$\mathcal{E}_m = -\frac{m m_0 G}{2a} = \frac{1}{2} mr^2 - \frac{m m_0 G}{r}$$

(la vitesse théorique est) $V = \sqrt{\left(\frac{m m_0 G}{r} \left(\frac{2}{r} - \frac{1}{a} \right) \right)^{1/2}}$ AN $V = 22 \text{ km.s}^{-1}$

Sur la photo, la comète est supposée à une échelle de la Terre - le flou du début de la chevelure peut être assimilé à la distance parcourue pendant le temps de pose, de l'ordre de R_T donc $V_{\text{photo}} \approx \frac{R_T}{T_{\text{pose}}} \approx 18 \text{ km.s}^{-1}$ - C'est cohérent !

Rq On ne peut pas utiliser la longueur totale de la traînée !

III 2 Sublmatem ?

Q40. D'après la conservation de E_m ,

$$\frac{1}{2} m \dot{a}^2 - m \frac{\eta_0 G}{a} = 0 \quad \text{donc} \quad \boxed{\frac{da}{dt} = \sqrt{\frac{2\eta_0 G}{a}}}$$

Q41. Si on applique le théorème de la quantité de mouvement au système fermé Σ constitué à $\{t\}$ de la comète de masse m_b ,

de quantité de mouvement $p(t) = m_b \dot{a}(t)$

à $\{t+dt\}$ de la comète de masse $m(t+dt)$, de l'eau éjectée de masse dm_e , avec $m(t+dt) = m_b + dm_e$,

donc $p(t+dt) = m_b \cdot \dot{a}(t+dt)$ au eau éjectée à la même vitesse

que la comète, d'où

$$\frac{dp_E}{dt} = m_b \frac{d\dot{a}}{dt} = -m_b \frac{\eta_0 G}{a^2} - \frac{\text{Rejet d'eau}}{\text{inertie}}$$

Q42. Par conservation de la puissance, se répartissent sur tout le système, on a

$$\phi_0 4\pi D_i^2 = \phi(t) 4\pi a^2(t) \quad \text{donc}$$

$$\boxed{\phi(t) = \frac{D_i^2}{a^2(t)} \phi_0}$$

Q43. On considère $\{dN$ qui se sublimé pendant $dt\}$

D'après le 1^{er} principe,

$$dT = \pi R_c^2 \phi(t) dt \quad \text{avec} \quad dT = -dN p_s \quad (dN)_0 \\ \phi = \left(\frac{D_T}{a}\right)^2 \phi_0$$

D'où

$$\boxed{\frac{dN}{dT} = -\frac{D_T^2}{a^2} \frac{\pi R_c^2}{p_s} \phi_0}$$

$$\text{On a } V = \frac{4}{3} \pi R_c^3 \text{ donc } N = \frac{4}{3} \pi R_c^3 \rho$$

$$\frac{dN}{dT} = 4\pi R_c^2 \frac{dR_c}{dt} \times \rho$$

D'où

$$\boxed{dR_c = \frac{1}{\rho 4\pi R_c^2} dN_c}$$

Q44. D'après ce qui précède,

$$dR_c = \frac{D_T^2 \phi_0 dt}{4\rho p_s a^2 / t} R_0$$

$$\text{donc } DR_c = \int_{+\infty}^{R_0} dR_c = \int \frac{dR_c}{dt} \frac{dt}{da} da$$

$$= D_T^2 \int_{+\infty}^{R_0} -\frac{\phi_0}{4\rho p_s a^2} \sqrt{\frac{a}{2G\eta_b}} da$$

On obtient

$$\boxed{DR_c = \frac{D_T^2 \phi_0}{2\rho p_s \sqrt{2G\eta_b R_0}}}$$

AN $DR_c \approx 1 \text{ dm}$

$DR_c \ll R_c - \text{on}$

Q45 La durée de chute précédente peut être assimilée au $1\frac{1}{4}$ de période d'une ellipse très aplatie -

On peut donc supposer que une durée $T = DR_C \approx 4 \times 18m.$

Au cours d'une période, on aurait $\frac{DR_C}{R_C} \approx 2\%$.

La durée de vie serait de 250 ce qui semble très court = seulement une quarantaine de passages !

Dans ce modèle, on a probablement largement sur-estimé la diminution d'épaisseur :

- une partie du flux solaire arrivant sur le comète n'est pas absorbé mais est réfléchi dans l'espace.
- la croûte du noyau est en réalité un mélange de roches réfractaires et de glace, les roches "protégeant" la glace d'une sublimation immédiate
- le mécanisme type cycle de l'eau lié à la rotation de Tchouri.